

# Arrangements d'hyperplans : apports de la dualité et de l'optimisation

*Baptiste Plaquent-Jourdain*, avec  
Jean-Pierre Dussault, Université de Sherbrooke  
Jean Charles Gilbert, INRIA Paris

10 Juin 2023

# Outline

- 1 Présentation et objectif
- 2 Algorithme par arbre
- 3 Matroïdes et dualité
- 4 Le cas affine / non-homogène

# Plan

1 Présentation et objectif

2 Algorithme par arbre

3 Matroïdes et dualité

4 Le cas affine / non-homogène

## Définition des arrangements

## Définition des arrangements

- dans  $\mathbb{R}^n$
  - avec  $p$  hyperplans
  - un hyperplan : sous-espace linéaire de dimension  $n - 1$  orthogonal à un vecteur  $v$
  - données :  $n, p, V = [v_1 \ v_2 \ \dots \ v_p]$ , on note  
 $H_i = v_i^\perp = \{x \in \mathbb{R}^n : v_i^T x = 0\}$

## Définition des arrangements

- dans  $\mathbb{R}^n$
  - avec  $p$  hyperplans
  - un hyperplan : sous-espace linéaire de dimension  $n - 1$  orthogonal à un vecteur  $v$
  - données :  $n, p, V = [v_1 \ v_2 \ \dots \ v_p]$ , on note  
 $H_i = v_i^\perp = \{x \in \mathbb{R}^n : v_i^T x = 0\}$

## Définition des arrangements

- dans  $\mathbb{R}^n$
  - avec  $p$  hyperplans
  - un hyperplan : sous-espace linéaire de dimension  $n - 1$  orthogonal à un vecteur  $v$
  - données :  $n, p, V = [v_1 \ v_2 \ \dots \ v_p]$ , on note  
 $H_i = v_i^\perp = \{x \in \mathbb{R}^n : v_i^T x = 0\}$

## Définition des arrangements

- dans  $\mathbb{R}^n$
  - avec  $p$  hyperplans
  - un hyperplan : sous-espace linéaire de dimension  $n - 1$  orthogonal à un vecteur  $v$
  - données :  $n, p, V = [v_1 \ v_2 \ \dots \ v_p]$ , on note  
 $H_i = v_i^\perp = \{x \in \mathbb{R}^n : v_i^T x = 0\}$

$\exists$  autre 'version' du problème : hyperplans affines

$$H_i = \{x \in \mathbb{R}^n : v_i^\top x = \tau_i\} \quad (\tau_i \in \mathbb{R})$$

# Vecteurs de signes et chambres

## Demi-espaces d'un hyperplan

$$\mathbb{R}^n = H_i^- \cup H_i \cup H_i^+, \quad H_i^- = \{x \in \mathbb{R}^n : v_i^T x < 0\}$$
$$H_i^+ = \{x \in \mathbb{R}^n : v_i^T x > 0\}$$

Tous les hyperplans : chaque  $x \in \mathbb{R}^n$  est sur  $H_i$ , dans  $H_i^-$  ou dans  $H_i^+$  pour chaque indice  $i$ .

Juste les "chambres" / "régions" := les  $-$  et  $+$   $(\mathbb{R}^n \setminus \cup H_i)$

# Vecteurs de signes et chambres

## Demi-espaces d'un hyperplan

$$\mathbb{R}^n = H_i^- \cup H_i \cup H_i^+, \quad H_i^- = \{x \in \mathbb{R}^n : v_i^T x < 0\}$$
$$H_i^+ = \{x \in \mathbb{R}^n : v_i^T x > 0\}$$

Tous les hyperplans : chaque  $x \in \mathbb{R}^n$  est sur  $H_i$ , dans  $H_i^-$  ou dans  $H_i^+$  pour chaque indice  $i$ .

Juste les "chambres" / "régions" := les  $-$  et  $+$   $(\mathbb{R}^n \setminus \cup H_i)$

# Précision de l'objectif

Chacun des  $p$  hyperplans :  $H_i^-$  et  $H_i^+$ , donc  $2^p$  possibilités.

On veut trouver quelles chambres sont non-vides :

$$\forall \mathbf{s} = (s_1, \dots, s_p) \in \{-1, +1\}^p, \exists \mathbf{x} : \forall i \in [1 : p], s_i v_i^\top \mathbf{x} > 0 ?$$

$$\left\{ \begin{array}{l} s_1 v_1^\top \mathbf{x} > 0 \\ \vdots \\ s_p v_p^\top \mathbf{x} > 0 \end{array} \right. \Leftrightarrow \left\{ \begin{array}{l} \min t \\ \text{s.t. } t \geq -1 \\ \quad t \geq -s_i v_i^\top \mathbf{x} \end{array} \right. \text{ optimisation linéaire}$$

L'ensemble des  $\mathbf{s}$  dont le système est réalisable :=  $\mathcal{S}$ .

"Force brute" : vérifier  $2^p$  systèmes. Facile de vérifier 1, mais  $2^p \dots$

# Précision de l'objectif

Chacun des  $p$  hyperplans :  $H_i^-$  et  $H_i^+$ , donc  $2^p$  possibilités.

On veut trouver quelles chambres sont non-vides :

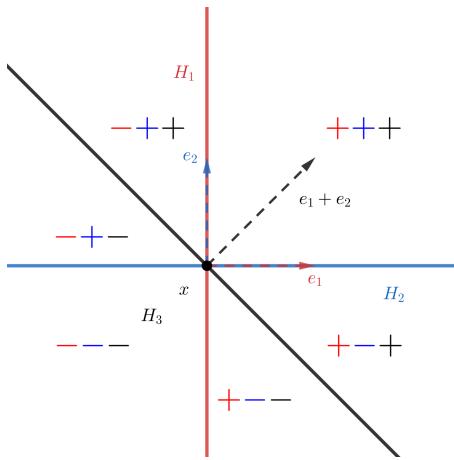
$$\forall \mathbf{s} = (s_1, \dots, s_p) \in \{-1, +1\}^p, \exists \mathbf{x} : \forall i \in [1 : p], s_i v_i^\top \mathbf{x} > 0 ?$$

$$\left\{ \begin{array}{l} s_1 v_1^\top \mathbf{x} > 0 \\ \vdots \\ s_p v_p^\top \mathbf{x} > 0 \end{array} \right. \Leftrightarrow \left\{ \begin{array}{l} \min t \\ \text{s.t. } t \geq -1 \\ t \geq -s_i v_i^\top \mathbf{x} \end{array} \right. \text{ optimisation linéaire}$$

L'ensemble des  $\mathbf{s}$  dont le système est réalisable :=  $\mathcal{S}$ .

"Force brute" : vérifier  $2^p$  systèmes. Facile de vérifier 1, mais  $2^p \dots$

# Illustration



$H_1 = e_1^\perp$ ,  $H_2 = e_2^\perp$ ,  $H_3 = (e_1 + e_2)^\perp$ . L'origine est  $\times$  (ou l' $\cap H_i$ ).

# Littérature

Très connu & étudié ; de façon très théorique.

Outils : fonction de Möbius, treillis (lattices), matroïdes

Des résultats stupéfiants : formule exacte, expressions très simples sous certaines hypothèses etc (Winder, [winder-1966])

$$\begin{aligned} |\{\text{chambres}\}| &= \sum_{T \subset \{H_i, i \in [1:m]\}} (-1)^{|T|-n+\dim(\bigcap_{t \in T} H_t)} \\ &= \sum_{\mathcal{V} \subset \{v_1, \dots, v_m\}} (-1)^{|\mathcal{V}|- \text{rang}(\mathcal{V})} \\ &= \sum_{\mathcal{V} \subset \{v_1, \dots, v_m\}} (-1)^{\dim(\mathcal{N}(\mathcal{V}))} \end{aligned}$$

# Littérature

Très connu & étudié ; de façon très théorique.

Outils : fonction de Möbius, treillis (lattices), matroïdes

Des résultats stupéfiants : formule exacte, expressions très simples sous certaines hypothèses etc (Winder, [winder-1966])

$$\begin{aligned} |\{\text{chambres}\}| &= \sum_{T \subset \{H_i, i \in [1:m]\}} (-1)^{|T|-n+\dim(\bigcap H_t, t \in T)} \\ &= \sum_{\mathcal{V} \subset \{v_1, \dots, v_m\}} (-1)^{|\mathcal{V}|- \text{rang}(\mathcal{V})} \\ &= \sum_{\mathcal{V} \subset \{v_1, \dots, v_m\}} (-1)^{\dim(\mathcal{N}(\mathcal{V}))} \end{aligned}$$

# Plan

- 1 Présentation et objectif
- 2 Algorithme par arbre
- 3 Matroïdes et dualité
- 4 Le cas affine / non-homogène

# Schéma

## L'algorithme RČ [cerny-rada-2018]

- procédé récursif : hyperplans ajoutés un par un
- arbre - deux descendants si  $H_{k+1}$  coupe la chambre en 2
- vérification faite par l'optimisation linéaire

~ Il est possible d'apporter des améliorations 'générales'.  
Ou d'utiliser les matroïdes !

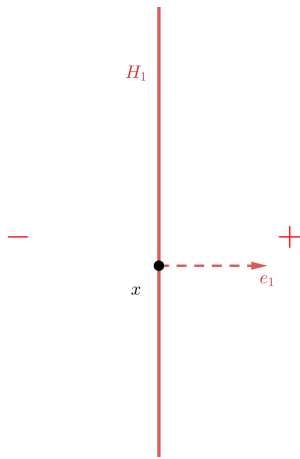
# Schéma

## L'algorithme RČ [cerny-rada-2018]

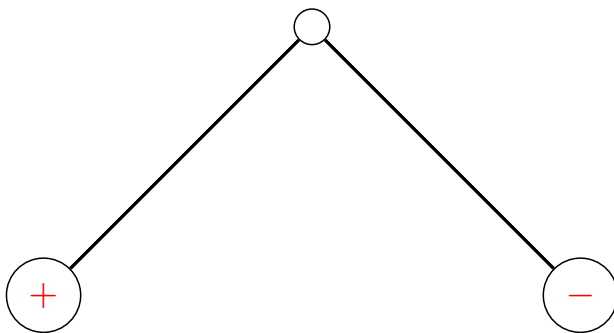
- procédé récursif : hyperplans ajoutés un par un
- arbre - deux descendants si  $H_{k+1}$  coupe la chambre en 2
- vérification faite par l'optimisation linéaire

~ Il est possible d'apporter des améliorations 'générales'.  
Ou d'utiliser les matroïdes !

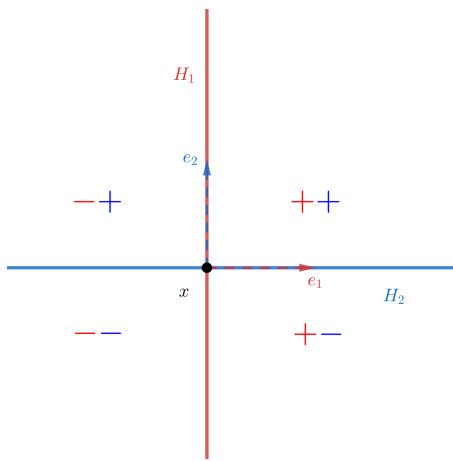
# Example avec les chambres et l'arbre



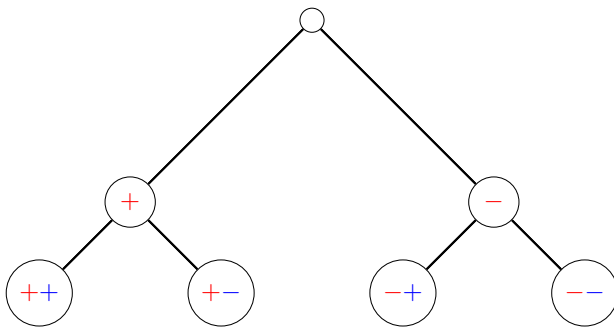
## Example avec les chambres et l'arbre



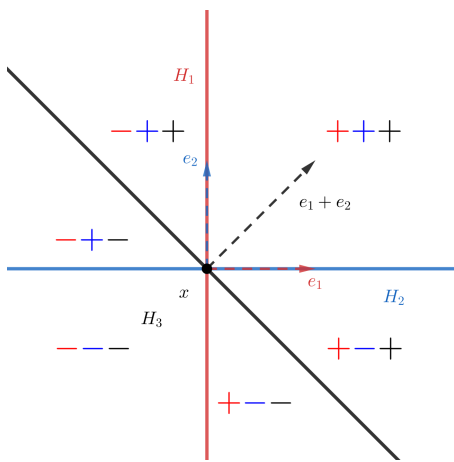
# Example avec les chambres et l'arbre



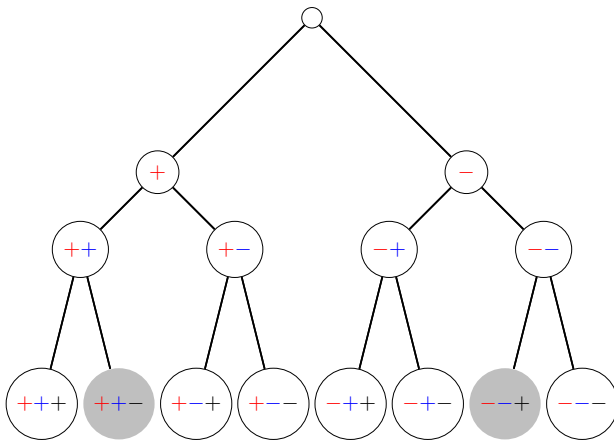
# Example avec les chambres et l'arbre



# Example avec les chambres et l'arbre



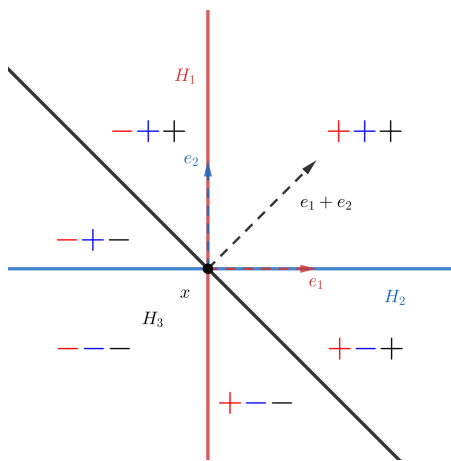
# Example avec les chambres et l'arbre



# Plan

- 1 Présentation et objectif
- 2 Algorithme par arbre
- 3 Matroïdes et dualité
- 4 Le cas affine / non-homogène

# Principe



$++-$  ( $-+-$ ) correspond à un POL non-réalisable.  $+$  à droite de  $H_1$ ,  $+$  en haut de  $H_2$ ,  $-$  en bas à gauche de  $H_3$  : impossible de trouver un point.

# L'alternative de Gordan

## L'astuce de l'alternative

$M \in \mathbb{R}^{p \times n}$ , exactement une des deux affirmations est vraie :

$$\begin{cases} \exists x \in \mathbb{R}^n : Mx > 0_{\mathbb{R}^p} \\ \exists \gamma \in \mathbb{R}_+^p : M^T \gamma = 0 \end{cases} \quad (1)$$

si  $M = \text{diag}(s)V^T \rightarrow Mx = (s_1 v_1^T x; \dots; s_p v_p^T x)$ , c'est:

"il existe un point dans la chambre définie par  $s$  ou un  $\gamma \in \mathbb{R}_+^p$ "

En optimisation : "dualité"  $\simeq$  autre approche/vision

# L'alternative de Gordan

## L'astuce de l'alternative

$M \in \mathbb{R}^{p \times n}$ , exactement une des deux affirmations est vraie :

$$\begin{cases} \exists x \in \mathbb{R}^n : Mx > 0_{\mathbb{R}^p} \\ \exists \gamma \in \mathbb{R}_+^p : M^T \gamma = 0 \end{cases} \quad (1)$$

si  $M = \text{diag}(s)V^T \rightarrow Mx = (s_1 v_1^T x; \dots; s_p v_p^T x)$ , c'est:

"il existe un point dans la chambre définie par  $s$  ou un  $\gamma \in \mathbb{R}_+^p$ "

En optimisation : "dualité"  $\simeq$  autre approche/vision

# Algorithme "dual"

## Principe

Déetecter les incompatibilités := les  $\gamma$  via l'alternative de Gordan  
Arrêter une branche de l'arbre si incompatibilité

Une incompatibilité = système non-réalisable  
"de taille minimale"

C'est (une utilité possible) des matroïdes !

# Algorithme "dual"

## Principe

Déterminer les incompatibilités := les  $\gamma$  via l'alternative de Gordan  
Arrêter une branche de l'arbre si incompatibilité

Une incompatibilité = système non-réalisable  
"de taille minimale"

C'est (une utilité possible) des matroïdes !

# Algorithme "dual"

## Principe

Détecter les incompatibilités := les  $\gamma$  via l'alternative de Gordan  
Arrêter une branche de l'arbre si incompatibilité

Une incompatibilité = système non-réalisable  
"de taille minimale"

C'est (une utilité possible) des matroïdes !

# Matroïdes linéaires/vectoriels

## Définition : circuits de matroïde

Pour  $V \in \mathbb{R}^{n \times p}$ ,  $V = [v_1 \dots v_p]$ , on cherche les circuits de  $V$   
 $\coloneqq J \subset [1 : p]$ ,  $V_{:,J} = [v_j]_{j \in J}$  a un noyau de dimension  $= 1$  et  
 $\forall J_0 \subsetneq J$ ,  $\{v_j\}_{j \in J_0}$  indépendants

→ trouver tous les  $J$ :

$$J \text{ circuit} \Rightarrow \exists \eta \in \mathbb{R}_*^J, V_{:,J}\eta = 0 \Leftrightarrow \overbrace{[V_{:,J} \text{sign}(\eta)]}^{=Id} [\text{sign}(\eta) \eta] = 0$$

$M_{(J)} = [V_{:,J} \text{sign}(\eta)]$  et  $\gamma_{(J)} = [\text{sign}(\eta) \eta] \geq 0$  vérifient l'alternative  
la 'chambre' de taille  $|J|$  définie par  $\text{sign}(\eta)$  est vide !

# Matroïdes linéaires/vectoriels

## Définition : circuits de matroïde

Pour  $V \in \mathbb{R}^{n \times p}$ ,  $V = [v_1 \dots v_p]$ , on cherche les circuits de  $V$   
 $\mathcal{J} \subset [1 : p]$ ,  $V_{:,J} = [v_j]_{j \in J}$  a un noyau de dimension = 1 et  
 $\forall J_0 \subsetneq J, \{v_j\}_{j \in J_0}$  indépendants

→ trouver tous les  $J$ :

$$J \text{ circuit} \Rightarrow \exists \eta \in \mathbb{R}_*^J, V_{:,J}\eta = 0 \Leftrightarrow \overbrace{[V_{:,J} \text{sign}(\eta)]}^{=Id} [\text{sign}(\eta) \eta] = 0$$

$M_{(J)} = [V_{:,J} \text{sign}(\eta)]$  et  $\gamma_{(J)} = [\text{sign}(\eta) \eta] \geq 0$  vérifient l'alternative  
la 'chambre' de taille  $|J|$  définie par  $\text{sign}(\eta)$  est vide !

# Matroïdes linéaires/vectoriels

## Définition : circuits de matroïde

Pour  $V \in \mathbb{R}^{n \times p}$ ,  $V = [v_1 \dots v_p]$ , on cherche les circuits de  $V$   
 $\coloneqq J \subset [1 : p]$ ,  $V_{:,J} = [v_j]_{j \in J}$  a un noyau de dimension  $= 1$  et  
 $\forall J_0 \subsetneq J$ ,  $\{v_j\}_{j \in J_0}$  indépendants

→ trouver tous les  $J$ :

$$J \text{ circuit} \Rightarrow \exists \eta \in \mathbb{R}_*^J, V_{:,J}\eta = 0 \Leftrightarrow \overbrace{[V_{:,J} \text{sign}(\eta)]}^{=Id} [\text{sign}(\eta) \eta] = 0$$

$M_{(J)} = [V_{:,J} \text{sign}(\eta)]$  et  $\gamma_{(J)} = [\text{sign}(\eta) \eta] \geq 0$  vérifient l'alternative  
la 'chambre' de taille  $|J|$  définie par  $\text{sign}(\eta)$  est vide !

# Résumé

## Algorithmes

- arbre normal (**[cerny-rada-2018]**)
- arbre dual (matroïdes)
- arbre avec les matroïdes (mais bcp d'optimisation)

Des améliorations générales pour les algorithmes 'normaux'.  
Ou des versions avec matroïdes qui améliorent beaucoup.

# Résumé

## Algorithmes

- arbre normal (**[cerny-rada-2018]**)
- arbre dual (matroïdes)
- arbre avec les matroïdes (mais bcp d'optimisation)

Des améliorations générales pour les algorithmes 'normaux'.  
Ou des versions avec matroïdes qui améliorent beaucoup.

# Comparaisons numériques

Problème	temps CPU (en s)							
	original code	Arbre+M-1		Arbre+M-2		Juste matroïdes		
		Temps	Ratio	Temps	Ratio	Temps	Ratio	
rand-4-8-2	1.06	0.10	10.75	0.02	48.44	0.03	36.67	
rand-7-9-4	1.13	0.45	2.51	0.29	3.95	0.02	68.67	
rand-7-13-5	11.06	4.29	2.58	2.94	3.76	0.25	44.60	
rand-8-15-7	64.79	29.53	2.19	27.59	2.35	4.54	14.29	
rand-9-16-8	157.05	78.01	2.01	81.61	1.92	18.87	8.32	
rand-10-17-9	352.42	196.09	1.80	213.48	1.65	70.19	5.02	
srand-8-20-4	874.01	323.56	2.70	649.61	1.35	705.36	1.24	
rc-2d-20-6	12.68	0.35	36.06	0.26	48.78	0.26	49.63	
rc-2d-20-7	23.01	0.56	40.87	0.53	43.06	0.45	51.50	
rc-perm-6	62.89	0.84	74.44	2.33	27.03	2.46	25.61	
rc-perm-8	6589.31	85.70	76.89	1599.53	4.12	5290.13	1.25	
rc-ratio-20-5-7	91.57	27.43	3.34	29.70	3.08	20.54	4.46	
rc-ratio-20-5-9	88.24	25.21	3.50	27.54	3.20	17.75	4.97	
rc-ratio-20-7-7	581.28	241.24	2.41	506.67	1.15	447.83	1.30	
rc-ratio-20-7-9	460.64	162.95	2.83	315.67	1.46	234.72	1.96	
Moyenne (totale)			16.60		13.90		30.31	
Médiane (totale)			3.24		4.12		27.80	

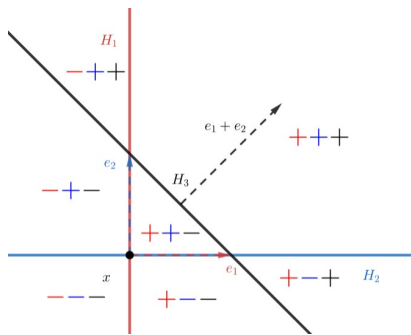
# Plan

- 1 Présentation et objectif
- 2 Algorithme par arbre
- 3 Matroïdes et dualité
- 4 Le cas affine / non-homogène

# Notations

$$H_i = \{x \in \mathbb{R}^n : v_i^T x = 0\} \rightarrow H_i = \{x \in \mathbb{R}^n : v_i^T x = \tau_i\}$$

linéaire/homogène      →      affine/non – homogène



Une chambre auparavant vide,  $++-$ , est maintenant non-vide.

# Gordan et Motzkin

$$\underbrace{\begin{cases} s_1 v_1^T x > 0 \\ \vdots \\ s_p v_p^T x > 0 \end{cases}}_{\text{Gordan}} \rightsquigarrow \underbrace{\begin{cases} s_1 v_1^T x > s_1 \tau_1 \\ \vdots \\ s_p v_p^T x > s_p \tau_p \end{cases}}_{\text{Motzkin}}$$

## L'autre alternative (Motzkin)

$M \in \mathbb{R}^{p \times n} \setminus \{0\}$ ,  $m \in \mathbb{R}^p$ , exactement une des affirmations est vraie

$$\begin{cases} \exists x \in \mathbb{R}^n : Mx > m \\ \exists (\gamma, \gamma_0) \in (\mathbb{R}_+^p \times \mathbb{R}^-) \setminus \{0\} : M^T \gamma = 0, m^T \gamma + \gamma_0 = 0 \end{cases} \quad (2)$$

# Gordan et Motzkin

$$\underbrace{\begin{cases} s_1 v_1^T x > 0 \\ \vdots \\ s_p v_p^T x > 0 \end{cases}}_{\text{Gordan}} \rightsquigarrow \underbrace{\begin{cases} s_1 v_1^T x > s_1 \tau_1 \\ \vdots \\ s_p v_p^T x > s_p \tau_p \end{cases}}_{\text{Motzkin}}$$

## L'autre alternative (Motzkin)

$M \in \mathbb{R}^{p \times n} \setminus \{0\}$ ,  $m \in \mathbb{R}^p$ , exactement une des affirmations est vraie

$$\begin{cases} \exists x \in \mathbb{R}^n : Mx > m \\ \exists (\gamma, \gamma_0) \in (\mathbb{R}_+^p \times \mathbb{R}^-) \setminus \{0\} : M^T \gamma = 0, m^T \gamma + \gamma_0 = 0 \end{cases} \quad (2)$$

# Résumé

- algorithme initial avec l'arbre & améliorations
- algorithme avec 100% matroïdes
- applicables aussi dans le cas affine, légères adaptations

## L'option mixte

Regarder l'arrangement dans  $\mathbb{R}^{n+1}$ ,  $\tau_i \leftrightarrow$  nouvelle dimension.

L'idéal : résoudre le cas affine par algorithme pour le cas linéaire.

# Résumé

- algorithme initial avec l'arbre & améliorations
- algorithme avec 100% matroïdes
- applicables aussi dans le cas affine, légères adaptations

## L'option mixte

Regarder l'arrangement dans  $\mathbb{R}^{n+1}$ ,  $\tau_i \leftrightarrow$  nouvelle dimension.

L'idéal : résoudre le cas affine par algorithme pour le cas linéaire.

# L'approche mixte - notations

$$\begin{aligned} V &= [v_1 \dots v_p] & \tilde{V} &= \begin{bmatrix} V \\ T \end{bmatrix} = [\tilde{v}_1 \dots \tilde{v}_p] = \begin{bmatrix} v_1 & \dots & v_p \\ \tau_1 & \dots & \tau_p \end{bmatrix} \end{aligned}$$

- $\mathcal{S}^H(V) = \{s : \exists x, \text{diag}(s)V^T x > 0\}$  cas linéaire;
- $\mathcal{S}^{nH}(\tilde{V}) = \{s : \exists x, \text{diag}(s)V^T x > s \cdot T^T\}$  for  $\tilde{V} := (V; T)$ ,  
cas affine;
- $\mathcal{S}^H(\tilde{V}) = \{s : \exists \tilde{x} \in \mathbb{R}^{n+1}, \text{diag}(s)\tilde{V}^T \tilde{x} > 0\}$ , cas mixte :=  
regarder  $\tilde{V}$  comme cas linéaire dans  $\mathbb{R}^{(n+1) \times p}$ .

# L'approche mixte - notations

$$\begin{aligned} V &= [v_1 \dots v_p] & \tilde{V} &= \begin{bmatrix} V \\ T \end{bmatrix} = [\tilde{v}_1 \dots \tilde{v}_p] = \begin{bmatrix} v_1 & \dots & v_p \\ \tau_1 & \dots & \tau_p \end{bmatrix} \end{aligned}$$

- $\mathcal{S}^H(V) = \{s : \exists x, \text{diag}(s)V^T x > 0\}$  cas linéaire;
- $\mathcal{S}^{nH}(\tilde{V}) = \{s : \exists x, \text{diag}(s)V^T x > s \cdot T^T\}$  for  $\tilde{V} := (V; T)$ ,  
cas affine;
- $\mathcal{S}^H(\tilde{V}) = \{s : \exists \tilde{x} \in \mathbb{R}^{n+1}, \text{diag}(s)\tilde{V}^T \tilde{x} > 0\}$ , cas mixte :=  
regarder  $\tilde{V}$  comme cas linéaire dans  $\mathbb{R}^{(n+1) \times p}$ .

# L'approche mixte - notations

$$\begin{aligned} V &= [v_1 \dots v_p] & \tilde{V} &= \begin{bmatrix} V \\ T \end{bmatrix} = [\tilde{v}_1 \dots \tilde{v}_p] = \begin{bmatrix} v_1 & \dots & v_p \\ \tau_1 & \dots & \tau_p \end{bmatrix} \end{aligned}$$

- $\mathcal{S}^H(V) = \{s : \exists x, \text{diag}(s)V^T x > 0\}$  cas linéaire;
- $\mathcal{S}^{nH}(\tilde{V}) = \{s : \exists x, \text{diag}(s)V^T x > s \cdot T^T\}$  for  $\tilde{V} := (V; T)$ ,  
cas affine;
- $\mathcal{S}^H(\tilde{V}) = \{s : \exists \tilde{x} \in \mathbb{R}^{n+1}, \text{diag}(s)\tilde{V}^T \tilde{x} > 0\}$ , cas mixte :=  
regarder  $\tilde{V}$  comme cas linéaire dans  $\mathbb{R}^{(n+1) \times p}$ .

# L'approche mixte - notations

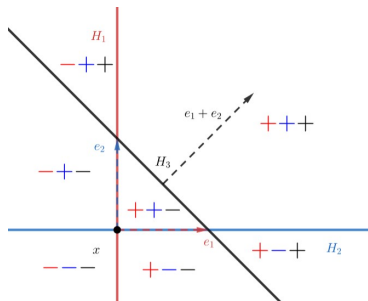
$$\begin{array}{ll} V = [v_1 \dots v_p] & \tilde{V} = \begin{bmatrix} V \\ T \end{bmatrix} = [\tilde{v}_1 \dots \tilde{v}_p] = \begin{bmatrix} v_1 & \dots & v_p \\ \tau_1 & \dots & \tau_p \end{bmatrix} \end{array}$$

- $\mathcal{S}^H(V) = \{s : \exists x, \text{diag}(s)V^T x > 0\}$  cas linéaire;
- $\mathcal{S}^{nH}(\tilde{V}) = \{s : \exists x, \text{diag}(s)V^T x > s \cdot T^T\}$  for  $\tilde{V} := (V; T)$ ,  
cas affine;
- $\mathcal{S}^H(\tilde{V}) = \{s : \exists \tilde{x} \in \mathbb{R}^{n+1}, \text{diag}(s)\tilde{V}^T \tilde{x} > 0\}$ , cas mixte :=  
regarder  $\tilde{V}$  comme cas linéaire dans  $\mathbb{R}^{(n+1) \times p}$ .

# L'approche mixte - fin des notations

## Partie symétrique et asymétrique d'un cas affine

$$\begin{cases} \mathcal{S}_{sym}^{nH}(\tilde{V}) &:= \mathcal{S}^{nH}(\tilde{V}) \cap [-\mathcal{S}^{nH}(\tilde{V})] \\ \mathcal{S}_{asym}^{nH}(\tilde{V}) &:= \mathcal{S}^{nH}(\tilde{V}) \setminus \mathcal{S}_{sym}^{nH}(\tilde{V}) \end{cases}$$



La nouvelle chambre  $\textcolor{red}{++}-$  est asymétrique, les autres sont symétriques.

# L'approche mixte - propriétés

$$\mathcal{S}^H(V) \subseteq \mathcal{S}^H(\tilde{V}) \quad (3)$$

$$\mathcal{S}^H(V)^c \supseteq \mathcal{S}^H(\tilde{V})^c \quad (4)$$

$$\mathcal{S}_{sym}^{nH}(\tilde{V}) = \mathcal{S}^H(\tilde{V}) \cap \mathcal{S}^H(V) = \mathcal{S}^H(V) \quad (5)$$

$$\mathcal{S}_{asym}^{nH}(\tilde{V}) \cup [-\mathcal{S}_{asym}^{nH}(\tilde{V})] = \mathcal{S}^H(\tilde{V}) \setminus \mathcal{S}^H(V) \quad (6)$$

$$[\mathcal{S}^{nH}(\tilde{V})^c]_{sym} = \mathcal{S}^H(\tilde{V})^c \cap \mathcal{S}^H(V)^c = \mathcal{S}^H(\tilde{V})^c \quad (7)$$

$$[\mathcal{S}^{nH}(\tilde{V})^c]_{asym} \cup -[\mathcal{S}^{nH}(\tilde{V})^c]_{asym} = \mathcal{S}^H(V)^c \setminus \mathcal{S}^H(\tilde{V})^c \quad (8)$$

# L'approche mixte - propriétés

$$\mathcal{S}^H(V) \subseteq \mathcal{S}^H(\tilde{V}) \quad (3)$$

$$\mathcal{S}^H(V)^c \supseteq \mathcal{S}^H(\tilde{V})^c \quad (4)$$

$$\mathcal{S}_{sym}^{nH}(\tilde{V}) = \mathcal{S}^H(\tilde{V}) \cap \mathcal{S}^H(V) = \mathcal{S}^H(V) \quad (5)$$

$$\mathcal{S}_{asym}^{nH}(\tilde{V}) \cup [-\mathcal{S}_{asym}^{nH}(\tilde{V})] = \mathcal{S}^H(\tilde{V}) \setminus \mathcal{S}^H(V) \quad (6)$$

$$[\mathcal{S}^{nH}(\tilde{V})^c]_{sym} = \mathcal{S}^H(\tilde{V})^c \cap \mathcal{S}^H(V)^c = \mathcal{S}^H(\tilde{V})^c \quad (7)$$

$$[\mathcal{S}^{nH}(\tilde{V})^c]_{asym} \cup -[\mathcal{S}^{nH}(\tilde{V})^c]_{asym} = \mathcal{S}^H(V)^c \setminus \mathcal{S}^H(\tilde{V})^c \quad (8)$$

# L'approche mixte - propriétés

$$\mathcal{S}^H(V) \subseteq \mathcal{S}^H(\tilde{V}) \quad (3)$$

$$\mathcal{S}^H(V)^c \supseteq \mathcal{S}^H(\tilde{V})^c \quad (4)$$

$$\mathcal{S}_{sym}^{nH}(\tilde{V}) = \mathcal{S}^H(\tilde{V}) \cap \mathcal{S}^H(V) = \mathcal{S}^H(V) \quad (5)$$

$$\mathcal{S}_{asym}^{nH}(\tilde{V}) \cup [-\mathcal{S}_{asym}^{nH}(\tilde{V})] = \mathcal{S}^H(\tilde{V}) \setminus \mathcal{S}^H(V) \quad (6)$$

$$[\mathcal{S}^{nH}(\tilde{V})^c]_{sym} = \mathcal{S}^H(\tilde{V})^c \cap \mathcal{S}^H(V)^c = \mathcal{S}^H(\tilde{V})^c \quad (7)$$

$$[\mathcal{S}^{nH}(\tilde{V})^c]_{asym} \cup -[\mathcal{S}^{nH}(\tilde{V})^c]_{asym} = \mathcal{S}^H(V)^c \setminus \mathcal{S}^H(\tilde{V})^c \quad (8)$$

# L'approche mixte - propriétés

$$\mathcal{S}^H(V) \subseteq \mathcal{S}^H(\tilde{V}) \quad (3)$$

$$\mathcal{S}^H(V)^c \supseteq \mathcal{S}^H(\tilde{V})^c \quad (4)$$

$$\mathcal{S}_{sym}^{nH}(\tilde{V}) = \mathcal{S}^H(\tilde{V}) \cap \mathcal{S}^H(V) = \mathcal{S}^H(V) \quad (5)$$

$$\mathcal{S}_{asym}^{nH}(\tilde{V}) \cup [-\mathcal{S}_{asym}^{nH}(\tilde{V})] = \mathcal{S}^H(\tilde{V}) \setminus \mathcal{S}^H(V) \quad (6)$$

$$[\mathcal{S}^{nH}(\tilde{V})^c]_{sym} = \mathcal{S}^H(\tilde{V})^c \cap \mathcal{S}^H(V)^c = \mathcal{S}^H(\tilde{V})^c \quad (7)$$

$$[\mathcal{S}^{nH}(\tilde{V})^c]_{asym} \cup -[\mathcal{S}^{nH}(\tilde{V})^c]_{asym} = \mathcal{S}^H(V)^c \setminus \mathcal{S}^H(\tilde{V})^c \quad (8)$$

# Arguments et intérêt

Preuves : les définitions & basculer entre Gordan et Motzkin

$$\mathcal{S}_{\text{sym}}^{nH}(\tilde{V}) = \mathcal{S}^H(\tilde{V}) \cap \mathcal{S}^H(V) = \mathcal{S}^H(V)$$

$$\mathcal{S}_{\text{asym}}^{nH}(\tilde{V}) \cup [-\mathcal{S}_{\text{asym}}^{nH}(\tilde{V})] = \mathcal{S}^H(\tilde{V}) \setminus \mathcal{S}^H(V)$$

Droite : uniquement des cas linéaires

Gauche : le cas affine recherché

Détail restant : distinguer les bons  $s$  des  $-s$ .  
(Ça marche bien.)

# Arguments et intérêt

Preuves : les définitions & basculer entre Gordan et Motzkin

$$\mathcal{S}_{\text{sym}}^{nH}(\tilde{V}) = \mathcal{S}^H(\tilde{V}) \cap \mathcal{S}^H(V) = \mathcal{S}^H(V)$$

$$\mathcal{S}_{\text{asym}}^{nH}(\tilde{V}) \cup [-\mathcal{S}_{\text{asym}}^{nH}(\tilde{V})] = \mathcal{S}^H(\tilde{V}) \setminus \mathcal{S}^H(V)$$

Droite : uniquement des cas linéaires

Gauche : le cas affine recherché

Détail restant : distinguer les bons  $s$  des  $-s$ .  
(Ça marche bien.)

# Conclusion

## Algorithmes

- algorithme de l'arbre (cas affine/linéaire)
- améliorations structurelles
- améliorations fondamentales : matroïdes
- adaptations des améliorations au cas affine
- algorithme 'mixte' pour le cas affine

Code pour les cas affine/mixte en développement.

Ouverture : si on veut "tout" l'arrangement ( $\exists$  chambres) ?

~ remplacer  $\{-, +\}$  par  $\{-, 0, +\}$  (mais  $3^P\dots$ ) Merci pour votre

attention ! Des questions ?

# Conclusion

## Algorithmes

- algorithme de l'arbre (cas affine/linéaire)
- améliorations structurelles
- améliorations fondamentales : matroïdes
- adaptations des améliorations au cas affine
- algorithme 'mixte' pour le cas affine

Code pour les cas affine/mixte en développement.

Ouverture : si on veut "tout" l'arrangement ( $\mathcal{Q}$  chambres) ?

~ remplacer  $\{-, +\}$  par  $\{-, 0, +\}$  (mais  $3^P\dots$ ) Merci pour votre

attention ! Des questions ?

# Conclusion

## Algorithmes

- algorithme de l'arbre (cas affine/linéaire)
- améliorations structurelles
- améliorations fondamentales : matroïdes
- adaptations des améliorations au cas affine
- algorithme 'mixte' pour le cas affine

Code pour les cas affine/mixte en développement.

Ouverture : si on veut "tout" l'arrangement ( $\exists$  chambres) ?

~ remplacer  $\{-, +\}$  par  $\{-, 0, +\}$  (mais  $3^P\dots$ ) Merci pour votre

attention ! Des questions ?

# Conclusion

## Algorithmes

- algorithme de l'arbre (cas affine/linéaire)
- améliorations structurelles
- améliorations fondamentales : matroïdes
- adaptations des améliorations au cas affine
- algorithme 'mixte' pour le cas affine

Code pour les cas affine/mixte en développement.

Ouverture : si on veut "tout" l'arrangement ( $\exists$  chambres) ?

~ remplacer  $\{-, +\}$  par  $\{-, 0, +\}$  (mais  $3^P\dots$ ) Merci pour votre

attention ! Des questions ?

# Conclusion

## Algorithmes

- algorithme de l'arbre (cas affine/linéaire)
- améliorations structurelles
- améliorations fondamentales : matroïdes
- adaptations des améliorations au cas affine
- algorithme 'mixte' pour le cas affine

Code pour les cas affine/mixte en développement.

Ouverture : si on veut "tout" l'arrangement ( $\mathcal{Q}$  chambres) ?

~ remplacer  $\{-, +\}$  par  $\{-, 0, +\}$  (mais  $3^P\dots$ ) Merci pour votre

attention ! Des questions ?

# Conclusion

## Algorithmes

- algorithme de l'arbre (cas affine/linéaire)
- améliorations structurelles
- améliorations fondamentales : matroïdes
- adaptations des améliorations au cas affine
- algorithme 'mixte' pour le cas affine

Code pour les cas affine/mixte en développement.

Ouverture : si on veut "tout" l'arrangement ( $\mathcal{Q}$  chambres) ?

~ remplacer  $\{-, +\}$  par  $\{-, 0, +\}$  (mais  $3^P\dots$ ) Merci pour votre

attention ! Des questions ?

# Conclusion

## Algorithmes

- algorithme de l'arbre (cas affine/linéaire)
- améliorations structurelles
- améliorations fondamentales : matroïdes
- adaptations des améliorations au cas affine
- algorithme 'mixte' pour le cas affine

Code pour les cas affine/mixte en développement.

Ouverture : si on veut "tout" l'arrangement ( $\supseteq$  chambres) ?

~ remplacez  $\{-, +\}$  par  $\{-, 0, +\}$  (mais  $3^P$ ...) Merci pour votre

attention ! Des questions ?

# Conclusion

## Algorithmes

- algorithme de l'arbre (cas affine/linéaire)
- améliorations structurelles
- améliorations fondamentales : matroïdes
- adaptations des améliorations au cas affine
- algorithme 'mixte' pour le cas affine

Code pour les cas affine/mixte en développement.

Ouverture : si on veut "tout" l'arrangement ( $\supseteq$  chambres) ?

~ remplacer  $\{-, +\}$  par  $\{-, 0, +\}$  (mais  $3^P$ ...) Merci pour votre

attention ! Des questions ?

# Bibliographic elements I